

# MCIE:

## Métodos Computacionais para Inferência Estatística com ênfase na verossimilhança

Paulo Justiniano Ribeiro Jr.  
Wagner Hugo Bonat  
(Elias Teixeira Krainski)  
(Walmes Marques Zeviani)

**LEG:** Laboratório de Estatística e Geoinformação  
Universidade Federal do Paraná

MCIE, 2º semestre 2019



# Comentários

- Texto de referência:
  - MCIE (PJ, WB, EK & WZ)
  - Disponível na Página: <http://www.leg.ufpr.br/mcie>
  - Capítulos 1 e 2
- Motivações e propósitos do texto e das aulas
  - Visão unificada e intuitiva dos princípios de inferência estatística
  - Facilidade de recursos computacionais e linguagens
  - Uso de rotinas *versus* implementação/teste/ilustração/aprendizado
  - Uso crítico e avaliação e apreciação das limitações de rotinas



# Exemplo introdutório

Entendendo e explicando **verossimilhança**.

Visitando um exemplo simples:

- População:  $X \sim \text{Ber}(\theta)$
- Amostra:  $x_1, \dots, x_n$
- $Y = x_1 + x_2 + \dots + x_n \sim \text{B}(n, \theta)$
- O que podemos falar sobre  $\theta$ ?
  - Qual a informação contida na amostra?
  - Consideram-se outras fontes de informação?
- informação na amostra resumida por  $(n, y = \sum_{i=1}^n x_i)$  ?

**Exemplo:**  $n = 100$  e  $y = 87$



# Construindo a verossimilhança

- temos dados (amostra), ou seja,  $y = 87$
- pode-se calcular a probabilidade de observar  $y = 87$  para um valor de  $\theta$ , por exemplo para  $\theta = 0,80$

$$P[Y = 87 | n = 100, \theta = 0,80] = \binom{100}{87} 0,80^{87} (1 - 0,80)^{100-87}$$

- e para qualquer outro valor de  $\theta$

$$P[Y = 87 | n = 100, \theta] = \binom{100}{87} \theta^{87} (1 - \theta)^{100-87}$$

- variando  $\theta$  temos a **função de verossimilhança**

$$L(\theta) \equiv P[Y = 87 | n = 100, \theta] = \binom{100}{87} \theta^{87} (1 - \theta)^{100-87}$$



# Espaço do Modelo

- Supondo  $Y \sim B(n = 100, \theta)$  e  $y = 87$
- O espaço definido pelo modelo (3-D)

$$\binom{n}{y} \theta^y (1 - \theta)^{n-y}$$

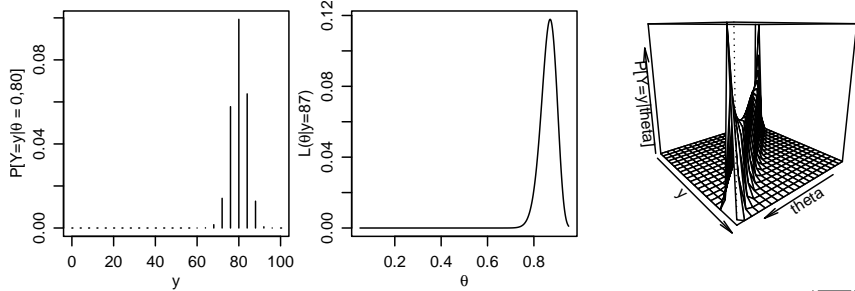


Figura 1: Distribuição de  $Y$ , Verossimilhança e espaço do modelo

# Verossimilhança

- Verossimilhança:  $L(\theta) \equiv P_\theta[y = 87] = \binom{100}{87} \theta^{87} (1 - \theta)^{100-87}$

- Verossimilhança Relativa:

$$LR(\theta) = \frac{L(\theta)}{\max L(\theta)} = \frac{L(\theta)}{L(\hat{\theta})} = \left(\frac{\theta}{\hat{\theta}}\right)^{87} \left(\frac{1-\theta}{1-\hat{\theta}}\right)^{100-87}$$

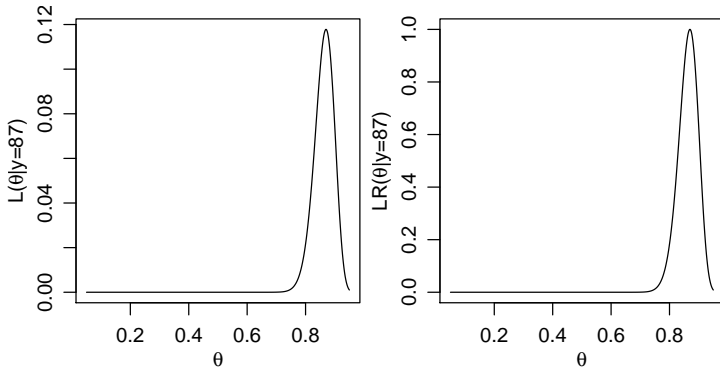


Figura 2: Funções de verossimilhança e verossimilhança relativa



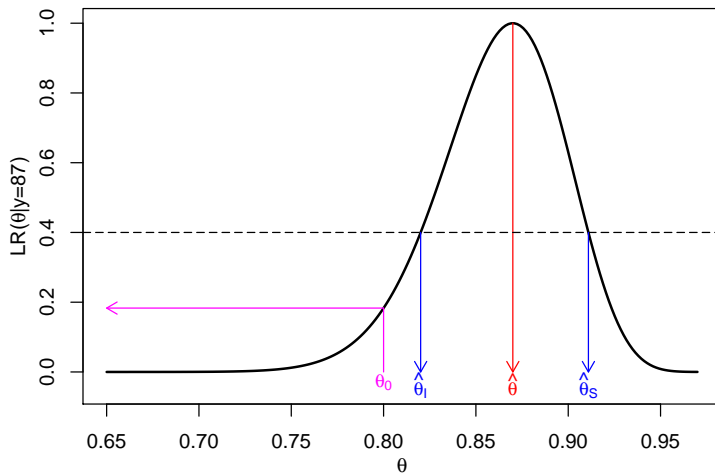
# Objetivos de inferência . . .

- função de verossimilhança  
probabilidades da amostra obtida para diferentes valores de  $\theta$
- melhor estimador e estimativa
- incerteza associada à estimativa obtida
- conjunto de valores razoavelmente compatíveis com a amostra
- decidir entre dois valores o mais compatível com a amostra
- decidir se a amostra é compatível com certo valor  $\theta_0$  de interesse?



# ... na função de verossimilhança

Objetivos de inferência representados na função de verossimilhança



# Comentários

- Suposições/pressupostos.
- Não é o único **paradigma** para inferência.
- **Relações e contrastes** com outros paradigmas.
- Meio do caminho entre abordagens **frequentista** e **bayesiana** (?)
- Várias propostas para **aproximações, modificações, etc.**
- Mas a intuição permanece válida para a lógica do pensamento estatístico.
- Problemas **irregulares** podem levar a formas “desafiadoras” da verossimilhança.



# Formas alternativas

- Verossimilhança:

$$L(\theta)$$

- Verossimilhança Relativa:

$$LR(\theta) = \frac{L(\theta)}{L(\hat{\theta})}$$

- log-Verossimilhança:

$$I(\theta) = \log\{L(\theta)\}$$

- Deviance:

$$D(\theta) = -2 \log\{LR[\theta]\} = -2\{I[\theta] - I[\hat{\theta}]\}$$



# Formas alternativas (exemplo binomial)

- Verossimilhança:

$$L(\theta) = \binom{100}{87} \theta^{87} (1 - \theta)^{100-87}$$

- Verossimilhança Relativa:

$$LR(\theta) = \frac{L(\theta)}{L(\hat{\theta})} = \left( \frac{\theta}{\hat{\theta}} \right)^{87} \left( \frac{1-\theta}{1-\hat{\theta}} \right)^{100-87}$$

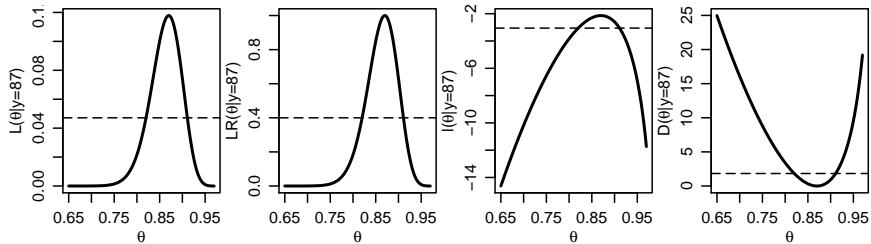
- log-Verossimilhança:

$$I(\theta) = \log\{L(\theta)\} = \log \binom{100}{87} + 87 \log(\theta) + (100 - 87) \log(1 - \theta)$$

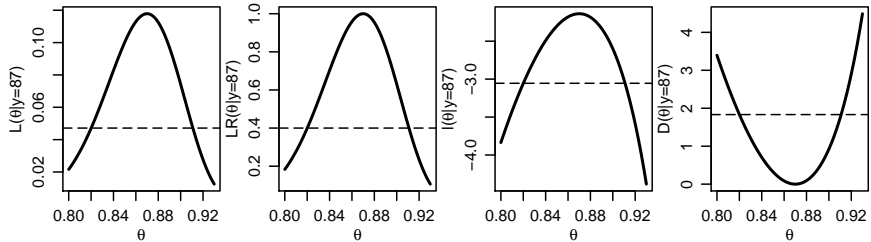
- Deviance:

$$D(\theta) = -2\{I[\theta] - I[\hat{\theta}]\} = -2 \left\{ 87 \log \left( \frac{\theta}{\hat{\theta}} \right) + (100 - 87) \log \left( \frac{1-\theta}{1-\hat{\theta}} \right) \right\}$$

# Formas alternativas da função de verossimilhança



“Zoom” na região próxima do máximo



# Expressão da Verossimilhança I

**V.A. observável discreta (não há ambiguidade)**

$$L(\theta) \equiv P_{\theta}[\underline{Y} = \underline{y}] = P_{\theta}[Y_1 = y_1, \dots, Y_n = y_n]$$

Sob independência

$$L(\theta) \equiv \prod_{i=1}^n P_{\theta}[Y_i = y_i]$$

**Exemplo:**

$$Y \sim P(\theta)$$

Dados:  $(y_1, \dots, y_n)$ , amostra aleatória

$$L(\theta) = \prod_{i=1}^n \frac{\exp\{-\theta\}\theta^{y_i}}{y_i!} = \frac{\exp\{-n\theta\}\theta^{\sum_{i=1}^n y_i}}{\prod_{i=1}^n y_i!} \propto \exp\{-n\theta\}\theta^{\sum_{i=1}^n y_i}$$



# Exemplo: distribuição Poisson

$$L[\theta] = \frac{\exp\{-n\theta\}\theta^{n\bar{Y}}}{\prod_{i=1}^n Y_i!}$$

$$LR[\theta] = \exp\{-n(\theta - \hat{\theta})\}(\theta/\hat{\theta})^{n\bar{Y}}$$

$$I[\theta] = -n\{\theta + \bar{Y} \log(\theta) - \overline{\log(Y_i!)}\}$$

$$D(\theta) = -2n\{(\theta - \hat{\theta}) - \bar{Y} \log(\theta/\hat{\theta})\}$$

Para uma a.a. de observações pontuais:

$$\hat{\theta} = \bar{Y}$$



# Exemplo: Distribuição Poisson

## ① Código 1

```
veroPois <- function(par, dados, tipo, maxlogL){  
  tipo = match.arg(tipo, choices=c("L", "LR", "logL", "dev"))  
  ll <- sapply(par, function(p) sum(dpois(dados, lambda=p,  
                                         log=TRUE)))  
  return(switch(tipo, "L" = exp(ll),  
               "LR" = exp(ll-maxlogL),  
               "logL" = ll,  
               "dev" = 2*(maxlogL-ll)))}
```

## ② Código 2

```
veroPois <- function(par, amostra, tipo="logL", maxlogL){  
  tipo = match.arg(tipo, choices=c("L", "LR", "logL", "dev"))  
  ll <- with(amostra, -n*par + soma * log(par))  
  return(switch(tipo, "L" = exp(ll),  
               "LR" = exp(ll-maxlogL),  
               "logL" = ll,  
               "dev" = 2*(maxlogL-ll)))}
```

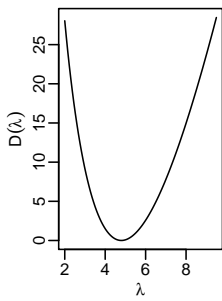
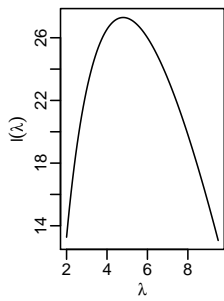
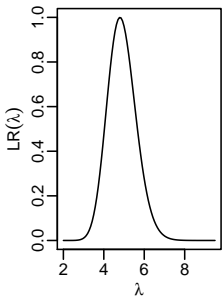
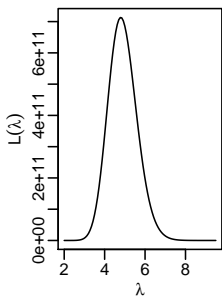


# Exemplo: Distribuição Poisson (cont)

```

set.seed(2012)
(dPo <- rpois(10, lambda=3.5))
amPo <- list(n=length(dPo), soma=sum(dPo))
emvPo <- mean(dPo)
maxll <- veroPois(emvPo, amostra=amPo, tipo="logL")
cat("...")
curve(veroPois(x, amostra=amPo, tipo="dev", maxlogL=maxll), 2, 9.5,
      ylab=expression(D(lambda)), xlab=expression(lambda))

```



# Expressão da Verossimilhança II

**V.A. contínua: medição à certa precisão ( $y_{il} \leq y_i \leq y_{iS}$ )**

- Forma mais geral (densidade multivariada)

$$L(\theta) = P_\theta[y_{1l} \leq Y_1 \leq y_{1S}, \dots, y_{nl} \leq Y_n \leq y_{nS}]$$

- Sob independência

$$L(\theta) = P_\theta[y_{1l} \leq Y_1 \leq y_{1S}] \cdot P_\theta[y_{2l} \leq Y_2 \leq y_{2S}] \dots P_\theta[y_{nl} \leq Y_n \leq y_{nS}]$$

$$= \prod_{i=1}^n P_\theta[y_{il} \leq Y_i \leq y_{iS}]$$

- Se grau de precisão comum, ( $y_i - \delta/2 \leq Y_i \leq y_i + \delta/2$ );

$$L(\theta) = \prod_{i=1}^n P_\theta[y_i - \delta/2 \leq Y_i \leq y_i + \delta/2] = \prod_{i=1}^n \int_{y_i - \delta/2}^{y_i + \delta/2} f(y_i, \underline{\theta}) d(y_i)$$


# Expressão da Verossimilhança II (cont)

- alto grau de precisão ( $\delta$  é pequeno em relação a variabilidade dos dados)

$$L(\theta) \approx \left( \prod_{i=1}^n f(y_i, \underline{\theta}) \right) \delta^n,$$

- e se  $\delta$  não depende dos valores dos parâmetros

$$L(\theta) \approx \prod_{i=1}^n f(y_i, \underline{\theta})$$

- observações não independentes - densidade multivariada:

$$L(\theta) \approx f(\underline{y}, \underline{\theta})$$



# Verossimilhança e Informação

Considere  $Y \sim N(\theta, 1)$  e as seguintes observações.

- ①  $x = 2.45$
- ②  $0.9 < x < 4$
- ③ somente o máximo de uma amostra de tamanho cinco é fornecido  
 $x_{(5)} = 3.5$

Verossimilhança:

$$L(\theta; x) = \phi(x - \theta) \equiv \frac{1}{\sqrt{2\pi}} \exp\left\{-\frac{1}{2}(x - \theta)^2\right\};$$

$$L_1 = L(\theta; x = 2.45) = \phi(2.45 - \theta) = \frac{1}{\sqrt{2\pi}} \exp\left\{-\frac{1}{2}(2.45 - \theta)^2\right\};$$

$$L_2 = L(\theta; 0.9 < x < 4) = \Phi(4 - \theta) - \Phi(0.9 - \theta);$$

$$L_3 = L(\theta; x_{(5)} = 3.5) = n\{\Phi(x_{(n)} - \theta)\}^{n-1}\phi(x_{(n)} - \theta).$$

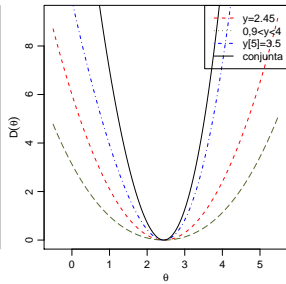
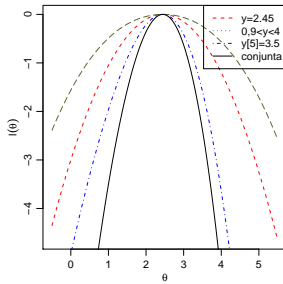
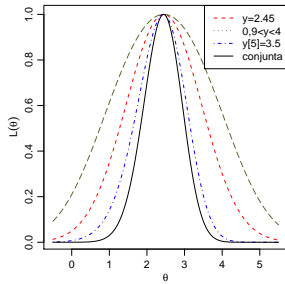
Para última - argumento multinomial e com

$$F(y) = P(X_{\{n\}} \leq y) = P[X_{\{i\}} < y \ \forall i \neq n \text{ e } X_{\{n\}} = y]$$



# Verossimilhança e Informação (cont)

```
L1 <- function(theta) dnorm(2.45, m=theta, sd=1)
L2 <- function(theta)
  pnorm(4,mean=theta, sd=1)-pnorm(0.9,mean=theta, sd=1)
L3 <- function(theta)
  5*pnorm(3.5,m=theta,s=1)^4 * dnorm(3.5,m=theta,s=1)
```



# Funções de interesse para inferência

- Função escore:  $U(\theta) = l'(\theta)$
- Hessiano e Informação observada:  $I_O(\theta) = -H(\theta) = -l''(\theta)$
- Informação Esperada:  $I_E(\theta) = E_Y[I_O(\theta)]$
- Estimadas:  $I_O(\hat{\theta})$  e  $I_E(\hat{\theta})$

Propriedades assintóticas:

- $\hat{\theta} \sim NM_d(\underline{\theta}, I_E(\underline{\theta})^{-1})$
- Assintoticamente equivalentes:

$$\hat{\theta} \sim NM_d(\theta, I_E(\hat{\theta})^{-1})$$

$$\hat{\theta} \sim NM_d(\theta, I_O(\theta)^{-1})$$

$$\hat{\theta} \sim NM_d(\theta, I_O(\hat{\theta})^{-1}).$$

- $D(\theta) = -2[l(\theta) - l(\hat{\theta})] \sim \chi_d^2$



# Exemplo: Distribuição Poisson (cont)

$$L(\theta) = \prod_{i=1}^n \frac{\exp\{-\theta\}\theta^{Y_i}}{Y_i!} = \frac{\exp\{-n\theta\}\theta^{\sum_{i=1}^n Y_i}}{\prod_{i=1}^n Y_i!} = \frac{\exp\{-n\theta\}\theta^{n\bar{Y}}}{\prod_{i=1}^n Y_i!}$$

$$I(\theta) = -n\theta + \left( \sum_{i=1}^n Y_i \right) \log(\theta) - \sum_{i=1}^n \log Y_i! = -n(\theta - \bar{Y} \log(\theta) - \overline{\log Y_i!})$$

$$U(\theta) = -n + \frac{\sum_{i=1}^n Y_i}{\theta} = -n\left(1 - \frac{\bar{Y}}{\theta}\right)$$

$$U(\hat{\theta}) = 0 \longrightarrow \hat{\theta} = \frac{\sum_{i=1}^n Y_i}{n} = \bar{Y}$$

$$I_O(\theta) = \frac{\sum_{i=1}^n Y_i}{\theta^2} = \frac{n\bar{Y}}{\theta^2}; \quad I_E(\theta) = \frac{n}{\theta}; \quad I_O(\hat{\theta}) = I_E(\hat{\theta}) = \frac{n^2}{\sum_{i=1}^n Y_i} = \frac{n}{\bar{Y}}$$

$$V(\hat{\theta}) = I_E^{-1}(\theta) \approx I_O^{-1}(\theta) \approx I_O^{-1}(\hat{\theta}) = I_E^{-1}(\hat{\theta})$$



# Exemplo: Distribuição Poisson (cont)

Função escore:

```
UPois <- function(lambda, amostra){  
  return(with(amostra, n - soma/lambda))  
}
```

Hessiano (negativo da Informação observada):

```
HPois <- function(lambda, amostra){  
  return(with(amostra, -soma/lambda^2))  
}
```

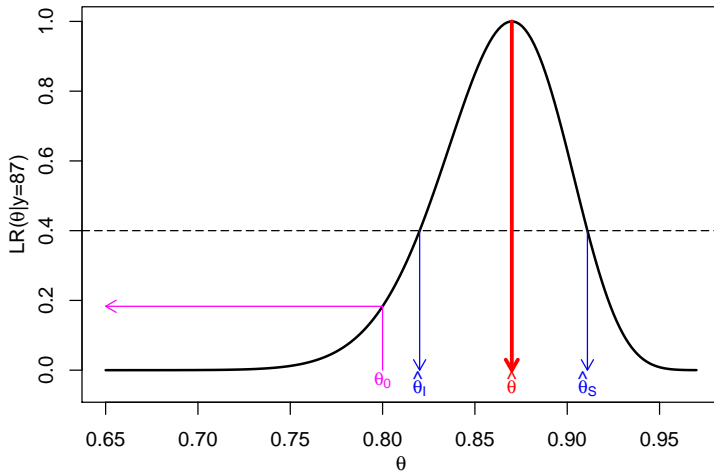
Informação esperada:

```
IePois <- function(lambda, amostra){  
  return(with(amostra, n/lambda))  
}
```



# Estimação

Objetivos de inferência e a função de verossimilhança



# Obtendo o EMV

Máximo da função de verossimilhança:  $\hat{\theta} = \operatorname{argmax}_{\theta} I(\theta)$   
(ou, melhor ainda colocando, o supremo da função)

- analiticamente:  
estudando comportamento de  $I(\theta)$  ou resolvendo  $U(\theta) = 0$
- numericamente (otimização/aproximações numéricas)
  - Solução da(s) equação(ões) de estimação (função escore)
    - com uso de derivadas (ex: Newton-Raphson)
    - sem uso de derivadas (ex: Brent)
  - Maximização da função de (log)-verossimilhança
- Outros (ex: EM)
- Simulação (ex: verossimilhança Monte Carlo, *data-cloning*, ...)
- Aproximações da verossimilhança (pseudo-verossimilhanças)



# Estimadores e Inferência

- Análogos para distribuições *posteriori* em Inferência Bayesiana
- **maximização numérica**: mais comum em EMV
- **simulação**: mais usual em Inferência Bayesiana



# EMV

Newton Raphson: expansão (Taylor) de 1<sup>a</sup> ordem de  $U(\theta)$ :

$$\theta^{r+1} = \theta^r - \frac{U(\theta)}{H(\theta)} = \theta^r + \frac{U(\theta)}{I_O(\theta)}$$

```
maxit <- 100; lambdaNR <- 5; iter <- 0; d <- 1
while(d > 1e-12 & iter <= maxit){
  lambdaNR.new <-
    lambdaNR - UPOis(lambdaNR, am)/HPois(lambdaNR, am)
  d <- abs(lambdaNR - lambdaNR.new)
  lambdaNR <- lambdaNR.new ; iter <- iter + 1
}
c(lambdaNR, iter)
```

Variante - *Fisher scoring*: substituir  $I_O(\theta) \rightarrow I_E(\theta)$

Potencial problema neste caso:  $\theta > 0$



# Exemplo: Distribuição Poisson (cont)

- Solução de equação  $U(\theta) = 0$ :

```
uniroot(UPois, interval=range(y), amostra=am)$root
```

- Maximização da verossimilhança

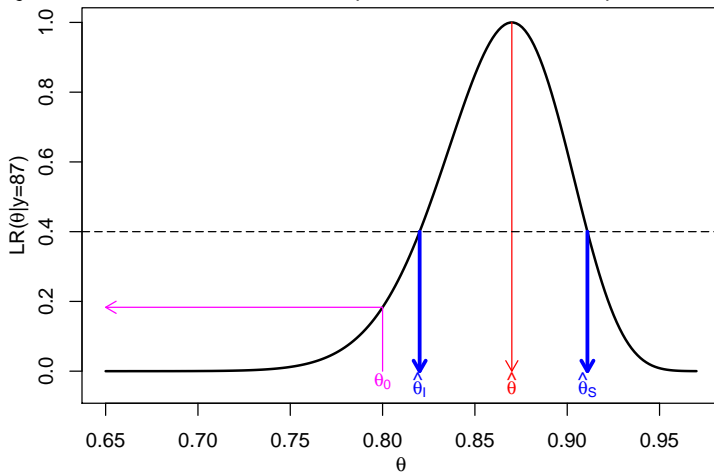
```
optimize(veroPois, interval=range(y), maximum=TRUE, amostra=am)
optim(par = median(y), fn=veroPois, control=list(fnscale=-1),
      amostra=am, hessian = TRUE)
```

- uso do gradiente: argumento gr = Upois
- pode retornar hessiano estimado  
 $(I_O(\hat{\theta}) = -H(\hat{\theta}) \text{ obtido numericamente})$



# Estimação por Intervalo

Objetivos de inferência e a função de verossimilhança



# Estimação por Intervalo

Definição informal:

*Região de valores do parâmetro com compatibilidade aceitável com os dados.*

Definição do "ponto de corte" que define a região por:

- a) evidência relativa em  $LR(\theta)$ :
- b) comportamento assintótico  $D(\theta) \sim \chi_p^2$ :
- c) interpretação probabilística direta em Inferência Bayesiana (quantis ou HPD)

Ou seja, evidência avaliada por:

- analogia sobre diferenças em  $LR(\theta)$ ,  $I(\theta)$  ou  $D(\theta)$
- referência probabilística

OBS:  $LR(\theta)$  e  $D(\theta)$  são adimensionais.



# Relações entre critérios de corte

- $LR(\theta) \geq r$  na função de verossimilhança relativa
- $I(\hat{\theta}) - I(\theta) \geq c$  na função de log-verossimilhança
- $D(\theta) \leq c^*$  na função deviance

$$LR(\theta) \geq r$$

$$I(\hat{\theta}) - I(\theta) \leq -\log(r) = c$$

$$D(\theta) = -2[I(\theta) - I(\hat{\theta})] \leq -2\log(r) = c^*$$

$$c^* = 2c = -2\log(r) \rightarrow r = e^{-c} = e^{-c/2}$$

$$D(\theta) \approx I_o(\hat{\theta})(\theta - \hat{\theta})^2 \sim \chi^2_{(1)}$$

$$\sqrt{D(\theta)} \approx I_o^{1/2}(\hat{\theta})(\theta - \hat{\theta}) \sim N(0, 1)$$

$c^*$  é um quantil da  $\chi^2_{(1)}$  ou, equivalentemente,  
 $\sqrt{c^*}$  é um quantil da  $N(0,1)$ .



# Relações entre critérios de corte

$$c^* = 2c = -2 \log(r) \rightarrow r = e^{-c} = e^{-c/2}$$

Relações entre intervalos baseados no corte na  $LR[\theta]$   
e por limites de probabilidade.

$r$	$c$	$c^*$	$z = \sqrt{c^*}$	$P[ Z  < \sqrt{c^*}]$
50%	0,693	1,386	1,177	0,761
26%	1,347	2,694	1,641	0,899
15%	1,897	3,794	1,948	0,949
14,6%	1,924	3,848	1,961	0,950
3,6%	3,324	6,648	2,578	0,990



analogia...



# Limites do Intervalo $(\tilde{\theta}_I; \tilde{\theta}_S)$

① Solução de equação (analítica ou numérica) de

- $LR(\theta) = r$  ou,
- $I(\hat{\theta}) - I(\theta) = c$  ou,
- $D(\theta) = c^*$

② Aproximação quadrática (Taylor)

$$D(\theta) = -2[I(\theta) - I(\hat{\theta})]$$

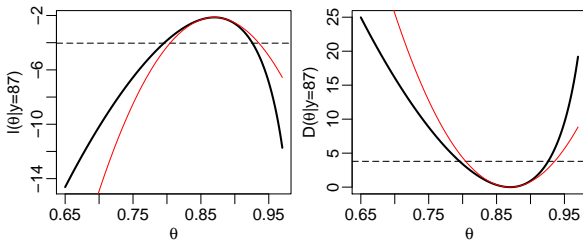
$$\begin{aligned} \tilde{D}(\theta) &= -2 \left\{ [I(\hat{\theta}) + (\theta - \hat{\theta})I'(\hat{\theta}) + \frac{1}{2}(\theta - \hat{\theta})^2 I''(\hat{\theta})] - I(\hat{\theta}) \right\} \\ &= (\theta - \hat{\theta})^2 I_o(\hat{\theta}) \end{aligned}$$

$$\tilde{D}(\theta) = c^* \rightarrow \hat{\theta} \pm \sqrt{\frac{c^*}{I_o(\hat{\theta})}}$$

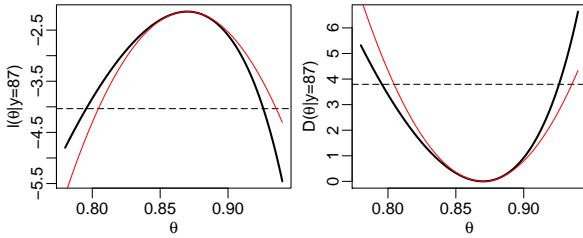
③ equivalente à distribuição assintótica:  $\hat{\theta} \sim NM_d(\underline{\theta}, I_E(\underline{\theta})^{-1})$



# Aproximação quadrática (exemplo Binomial)



“Zoom” na região próxima do máximo



# Avaliando a aproximação quadrática

Retomando a aproximação de Taylor (de 2<sup>a</sup> ordem) ao redor de  $\hat{\theta}$ :

$$l(\theta) = l(\hat{\theta}) - \frac{1}{2}(\theta - \hat{\theta})^2 I_o(\hat{\theta})$$

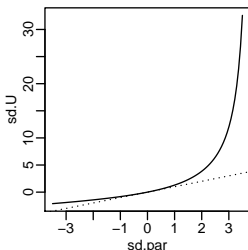
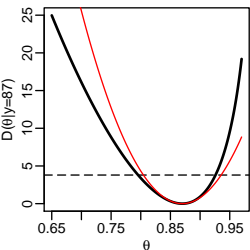
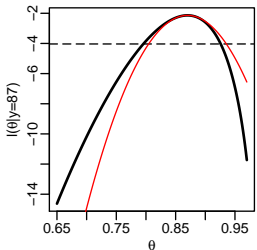
$$\frac{dl(\hat{\theta})}{d\theta} = U(\theta) = -I_o(\hat{\theta})(\theta - \hat{\theta})$$

$$-I_o^{-1/2}(\hat{\theta})U(\theta) = I_o^{-1/2}(\hat{\theta})(\theta - \hat{\theta})$$

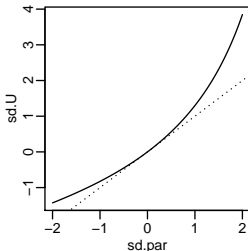
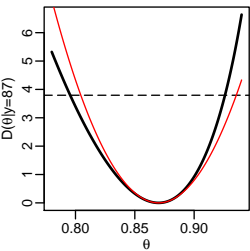
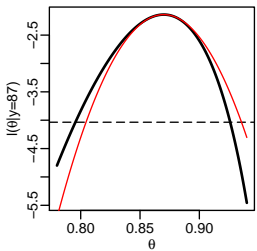
Quantidades na última expressão são adimensionais!!  
 Diagnóstico alternativo para aproximação quadrática.



# Avaliação da aproximação quadrática



“Zoom” na região próxima do máximo



# Exemplo: Exponencial (i.i.d.)

$$f(y_i, \theta) = \theta \exp\{-\theta y_i\} \quad y > 0 ; \theta > 0$$

$$F(y_i, \theta) = 1 - \exp\{-\theta y_i\} \quad y > 0 ; \theta > 0$$

$$L(\theta) = \theta^n \exp\{-\theta n\bar{y}\}$$

$$I(\theta) = n \log(\theta) - \theta n\bar{y}$$

$$U(\theta) = \frac{n}{\theta} - n\bar{y}$$

$$H(\theta) = -\frac{n}{\theta^2} \text{ (depende do valor de } \theta \text{!!)}$$

$$\hat{\theta} = 1/\bar{y}$$

**Código R**



# Exemplo: Exponencial (cont)

Obtenção da Estimação Intervalar

- Corte na deviance: (solução apenas numérica)

$$D(\theta) = 2n[\log\left(\hat{\theta}/\theta\right) + \bar{y}(\theta - \hat{\theta})] \leq c^*$$

- Aproximação quadrática:

$$\tilde{D}(\theta) = n \left( \frac{\theta - \hat{\theta}}{\hat{\theta}} \right)^2$$

$$\left( \tilde{\theta}_L \approx \hat{\theta}(1 - \sqrt{c^*/n}) , \quad \tilde{\theta}_S \approx \hat{\theta}(1 + \sqrt{c^*/n}) \right)$$

- Distribuição assintótica:  $I_E^{-1}(\theta) \approx I_O^{-1}(\hat{\theta}) = \hat{\theta}^2/n$

$$\hat{\theta} \pm z_{\frac{\alpha}{2}} \sqrt{V(\hat{\theta})}$$

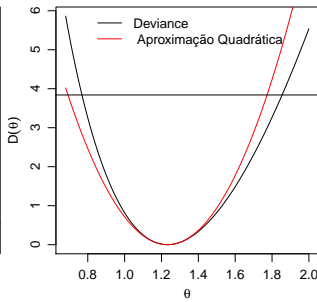
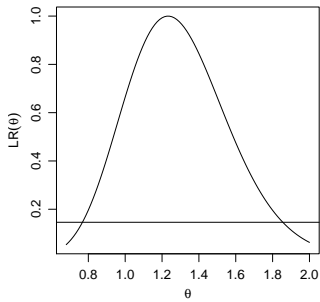
$$\left( \tilde{\theta}_L = \hat{\theta} - z_{\frac{\alpha}{2}} \hat{\theta} / \sqrt{n} , \quad \tilde{\theta}_S = \hat{\theta} + z_{\frac{\alpha}{2}} \hat{\theta} / \sqrt{n} \right)$$



# Exemplo: Distribuição Exponencial (cont)

```
ICdevExp <- function(theta, theta.hat, y, nivel=0.95){
  n <- length(y)
  dv <- 2*n*( log( theta.hat/theta) + mean(y)*(theta- theta.hat))
  return(dv - qchisq(nivel,df=1))
}
```

```
rootSolve:::uniroot.all(ICdevExp, interval=c(0,10),
  theta.hat=1/mean(y), y=y)
```



# Reparametrização

Caso univariado (ou reparametrização 1-1)

$$\phi = g(\theta)$$

Como fazer inferências sobre  $\phi$ ?

- estimação pontual
- estimação por intervalo
- testes de hipótese

Um resultado fundamental: **invariância da verossimilhança:**

$$I(\phi_i) = I(g(\theta_i)) = I(\theta_i)$$



# Reparametrização

Duas alternativas iniciais:

- ① Reescrever a função de verossimilhança e “recomeçar” do zero:

- Pontual:  $\hat{\phi} = \operatorname{argmax}\{I(\phi)\}$
- Intervalar:

$$(\hat{\phi}_I, \hat{\phi}_S) \text{ baseado em } I(\phi) \quad (1)$$

$$(\tilde{\phi}_I, \tilde{\phi}_S) \text{ baseado em } \tilde{I}(\phi) \quad (2)$$

- ② “Aproveitar” resultados da inferência já obtida para  $\theta$ :

- Pontual:  $\hat{\phi} = g(\hat{\theta})$  (**invariância**)
- Intervalar:

$$(g(\hat{\theta}_I), g(\hat{\theta}_S)) \text{ transformação dos limites em } I(\theta) (\text{invariância}) \quad (3)$$

$$(g(\tilde{\theta}_I), g(\tilde{\theta}_S)) \text{ transformação dos limites em } \tilde{I}(\theta) \quad (4)$$

Estimativas pontuais: iguais em ambos casos

Estimativas intervalares: (1) = (3) e tem-se então três possibilidades



# Reparametrização

- Resultados exatos baseados na verossimilhança:
  - $\hat{\phi} = g(\hat{\theta})$
  - IC por corte:  $(\hat{\phi}_I, \hat{\phi}_S) = (g(\hat{\theta}_I), g(\hat{\theta}_S))$
- Aproximações quadráticas da verossimilhança
  - aproximação  $\tilde{l}(\theta) : (g(\tilde{\theta}_I), g(\tilde{\theta}_S))$
  - aproximação  $\tilde{l}(\phi) : (\tilde{\phi}_I, \tilde{\phi}_S)$
- Distribuição assintótica do estimador pelo **Método delta**:

$$\text{Var}(\hat{\phi}) = [g'(\theta)]^2 [I_E(\theta)]^{-1} \longrightarrow \left[ \text{se}(\hat{\phi}) = |g'(\theta)| [I_E(\theta)]^{-1/2} \right]$$

Assintoticamente:  $\hat{\phi} = g(\hat{\theta}) \sim N(\phi, [g'(\theta)]^2 [I_E(\theta)]^{-1})$



# Método delta

$$\phi = g(\theta)$$

## Teorema

(Método delta). Seja  $\hat{\theta}$  um estimador de  $\theta$  para uma amostra de tamanho  $n$  tal que

$$\sqrt{n}(\hat{\theta} - \theta) \rightarrow N(0, \sigma_{\theta}^2).$$

Então, para qualquer função  $g(\cdot)$  que é diferenciável ao redor de  $\theta$  e  $h'(\theta) \neq 0$ , tem-se que

$$\sqrt{n}(g(\hat{\theta}) - g(\theta)) \rightarrow N(0, \sigma_{\theta}^2 |h'(\theta)|^2).$$

Em termos do TCL, aplica-se a funções da média amostral.

Produz uma aproximação quadrática da verossimilhança de  $\phi$ .



# Reparametrização

- **ideal:** Resultados exatos baseados na verossimilhança:
- **muito utilizado:** Resultados baseados no método delta
- **conveniente:** aproximações baseadas nas aproximações quadráticas das verossimilhanças  $\tilde{I}(\theta)$  ou  $\tilde{I}(\phi)$
- Se transformação  $g(\cdot)$  é não linear, a invariância **não é válida** para a aproximação quadrática, ou seja:

$$\{g(\tilde{\theta}_I), g(\tilde{\theta}_S)\} = \{g(\hat{\theta} - z_{\alpha/2}[I_E(\hat{\theta})]^{-1/2}), g(\hat{\theta} + z_{\alpha/2}[I_E(\hat{\theta})]^{-1/2})\} \neq \\ \{g(\hat{\theta}) - z_{\alpha/2}|g'(\theta)|[I_E(\hat{\theta})]^{-1/2}, g(\hat{\theta}) + z_{\alpha/2}|g'(\theta)|[I_E(\hat{\theta})]^{-1/2}\} = (\tilde{\phi}_I, \tilde{\phi}_S)$$

- se  $I(\theta)$  é menos assimétrica: usar  $(g(\tilde{\theta}_I), g(\tilde{\theta}_S))$   
se  $I(\phi)$  é menos assimétrica: usar  $(\tilde{\phi}_I, \tilde{\phi}_S)$



# Recomendações

- Melhor abordagem: (mais geral e acurácia)  
IC's baseados verossimilhança/deviance (muitas vezes só obtidos numericamente)
- Intervalos assintóticos (utilizam  $se(\hat{\theta})$ , obtenção a partir da aproximação quadrática, formas fechadas )
- Escolher parametrização da função que forneça uma boa aproximação quadrática
- IC's para funções dos parâmetros: obtenção pelo método delta ou direta se aproximadamente quadrática



# Reparametrização

Por que reparametrizar (ou considerar resultados para a reparametrização)?

- Interpretabilidade de  $\phi$
- "Melhor" formato da função de verossimilhança com melhor comportamento de métodos numéricos.
- **Predição!!**  
uma predição de um modelo pode ser vista como uma reparametrização!



# Exemplo: Exponencial (cont)

## Reparametrização

$$\phi = P[Y \leq u] = 1 - \exp\{-\theta u\}$$

- Obter  $se(\hat{\phi})$
- Três intervalos possíveis:

$$(\hat{\phi}_I, \hat{\phi}_S) : (g(\hat{\theta}_I), g(\hat{\theta}_S))$$

$$(\tilde{\phi}_I, \tilde{\phi}_S) : \hat{\phi} \pm z_{\alpha/2} se(\hat{\phi})$$

$$(1 - \exp\{-\tilde{\theta}_S u\}, 1 - \exp\{-\tilde{\theta}_S u\}) : (g(\tilde{\theta}_I), g(\tilde{\theta}_S))$$

- Comparação gráfica das funções e das taxas de cobertura (simulação)



# Exemplo: Distribuição Exponencial (cont)

## Redefinindo

```
ICdevExp <- function(theta, theta.hat, y, nivel=0.95){
  n <- length(y)
  dv <- 2*n*( log( theta.hat/theta) + mean(y)*(theta- theta.hat))
  return(dv - qchisq(nivel,df=1))
}
```

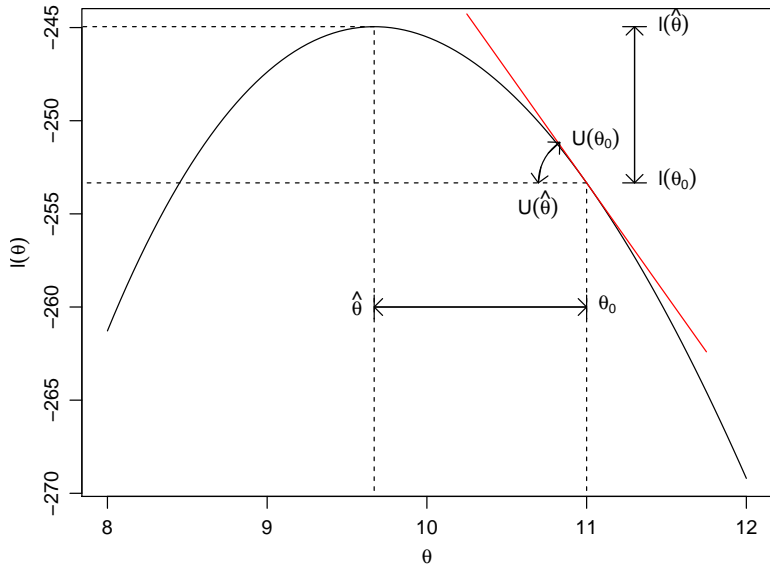
```
require(rootSolve)
uniroot.all(ICdevExp, interval=c(0,10), theta.hat=1/mean(y), y=y)
```

```
ICdevExp <- function(theta, amostra, nivel=0.95){
  ## amostra é um vetor com elementos n e mean(y), nesta ordem
  n <- amostra[1]
  med <- amostra[2]
  dv <- 2*n*(-log(med*theta) + med*theta - 1)
  return(dv - qchisq(nivel, df=1))
}
```

```
am <- c(length(y), mean(y))
uniroot.all(ICdevExp, interval=c(0,10), amostra=am)
```



# Teste de Hipótese



# Teste de Hipótese

- Teste razão de verossimilhança

```
trv <- function(Est, H0, alpha, ...){
  critico <- qchisq(1-alpha, df=1)
  est.calc <- Est(H0, ...)
  print(ifelse(est.calc < critico, "Aceita H0", "Rejeita H0"))
  return(c(est.calc,critico))}
```

- Teste Wald

```
wald <- function(H0, EMV, V.EMV, alpha){
  critico <- qnorm(1-alpha/2)
  Tw <- (EMV - H0)/sqrt(V.EMV)
  print(ifelse(Tw < critico, "Aceita H0", "Rejeita H0"))
  return(c(Tw,critico))
}
```

- Teste Escore

```
escore <- function(H0, U, Ie, alpha, ...){
  critico <- qnorm(1-alpha/2)
  Te <- U(H0,...)/sqrt(Ie(H0,...))
  print(ifelse(Te < critico, "Aceita H0", "Rejeita H0"))
  return(c(Te,critico))}
```

# Exemplo: Poisson

## TRV

```
Est <- function(H0, x){
  n <- length(x)
  EMV <- mean(x)
  lv <- 2*n*(( H0 - EMV) + EMV*log(EMV/H0))
  return(lv)
}
trv(Est = Est, H0=8, alpha = 0.05, x=x)
```

## Wald

```
wald(H0=8, EMV = mean(x), V.EMV = mean(x)/length(x),alpha=0.05)
```

## Escore

```
fc.escore <- function(lambda,x){
  n <- length(x)
  esco <- -n + sum(x)/lambda
  return(esco)}
Ie <- function(lambda,x){
  n <- length(x)
  I <- n/lambda
  return(I)}
escore(H0 = 8, U = fc.escore, Ie = Ie, alpha=0.05, x=x)
```



# Condições de regularidade

- $\Theta$  é finito dimensional e  $\theta$  é interior a  $\Theta$
- primeiras três derivadas de  $I(\theta)$  na vizinhança de  $\theta$
- amplitude não depende de  $\theta$
- $I(\theta) \approx$  quadrática para  $n \rightarrow \infty$ , passando a depender apenas da posição e curvatura no EMV
- ...  $I_E(\theta)$  precisa ser inversível



# Exemplo: Distribuição Normal

log-Verossimilhança para  $\theta = (\mu, \sigma)$

$$I(\mu, \sigma) = -\frac{n}{2} \log 2\pi - n \log \sigma - \frac{1}{2\sigma^2} \sum_{i=1}^n (y_i - \mu)^2.$$

Escore

$$U(\mu) = \frac{\partial I(\mu, \sigma)}{\partial \mu} = \frac{\sum_{i=1}^n y_i}{\sigma^2} - \frac{n\mu}{\sigma^2}$$

$$U(\sigma) = -\frac{n}{\sigma} + \frac{1}{\sigma^3} \sum_{i=1}^n (y_i - \mu)^2.$$

EMV

$$\hat{\mu} = \frac{\sum_{i=1}^n y_i}{n} \quad \text{e} \quad \hat{\sigma}^2 = \frac{\sum_{i=1}^n (y_i - \mu)^2}{n}.$$

Informação

$$I_O(\hat{\mu}, \hat{\sigma}) = \begin{bmatrix} \frac{n}{\hat{\sigma}^2} & 0 \\ 0 & \frac{2n}{\hat{\sigma}^2} \end{bmatrix}.$$



# Intervalos de confiança

## Conjuntos

- corte

$$D(\mu, \sigma) = 2[n \log\left(\frac{\sigma}{\hat{\sigma}}\right) + \frac{1}{2\sigma^2} \sum_{i=1}^n (y_i - \mu)^2 - \frac{1}{2\hat{\sigma}^2} \sum_{i=1}^n (y_i - \hat{\mu})]$$

- elipse (aproximação quadrática)

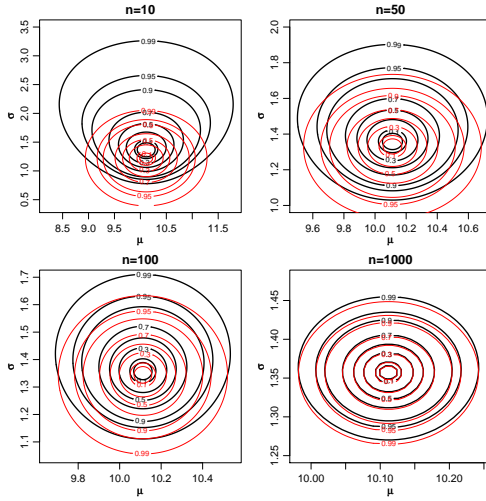
$$D(\mu, \sigma) \approx (\underline{\theta} - \hat{\underline{\theta}})^\top I_o(\hat{\underline{\theta}})(\underline{\theta} - \hat{\underline{\theta}}).$$

- assintótico

$$\begin{bmatrix} \hat{\mu} \\ \hat{\sigma} \end{bmatrix} \sim NM_2 \left( \begin{bmatrix} \mu \\ \sigma \end{bmatrix}, \begin{bmatrix} \hat{\sigma}^2/n & 0 \\ 0 & \hat{\sigma}^2/2n \end{bmatrix} \right)$$



# Exemplo: Distribuição Normal (cont)



# Intervalos de confiança

Parâmetros de interesse e de inconveniência (*nuisance*):  $(\theta, \psi)$

Soluções usuais:

- Condicionando no EMV :  $L(\theta) = L(\theta, \hat{\psi}) \equiv [Y|\theta, \hat{\psi}]$
- Verossimilhança Perfilhada :  $L(\theta) \equiv L[\theta, \hat{\psi}_\theta]$
- Verossimilhanças marginais integradas Bayesianas :  

$$L(\theta) = \int [Y|\theta, \psi][\psi] d\psi$$

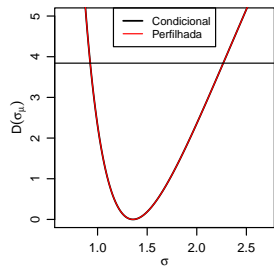
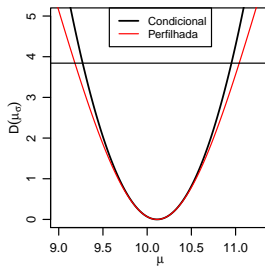
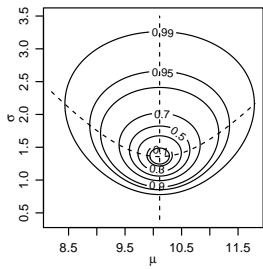
**Exemplo Normal:**  $1/\sigma^2 \sim G(a, b)$

$$f(y|\mu) = \frac{\Gamma(n/2 + 1)}{\pi^{n/2} \Gamma(a) (\sum_i (y_i - \mu)^2 + 2b)^{n/2+a}}$$

Integrações analíticas e por simulação



# Exemplo: Distribuição Normal (cont)



# Exemplo: Distribuição Normal (cont)

```

pl.mu <- function(sigma, mu, dados){
  pll <- sum(dnorm(dados, mean=mu, sd=sigma, log=TRUE))
  return(pll)}
##
pl.sigma <- function(mu, sigma, dados){
  pll <- sum(dnorm(dados, mean=mu, sd=sigma, log=TRUE))
  return(pll)}

```

```

grid.mu <- seq(9, 11.3, length=200)
grid.sigma <- seq(0.65, 2.7, length=200)
## Condicionais:
mu.cond <- sapply(grid.mu, pl.sigma, sigma=sqrt(var(y10)*9/10), dados=y10)
sigma.cond <- sapply(grid.sigma, pl.mu, mu=mean(y10), dados=y10)

mu.perf <- matrix(0, nrow=length(mu), ncol=2)
for(i in 1:length(mu)){
  mu.perf[i,] <- unlist(optimize(pl.mu,c(0,200),
                                    mu=mu[i],dados=y10,maximum=TRUE))}

sigma.perf <- matrix(0, nrow=length(sigma), ncol=2)
for(i in 1:length(sigma)){
  sigma.perf[i,] <- unlist(optimize(pl.sigma,c(0,1000),
                                sigma=sigma[i],dados=y10,maximum=TRUE))}
```



# Exemplo: Distribuição Normal (Dados intervalares)

Dados intervalares e parâmetros  $\theta = (\mu, \sigma)$

observações "pontuais":

72,6 81,3 72,4 86,4 79,2 76,7 81,3 ;

observações intervalares:

uma observação com valor acima de 85,

uma observação com valor acima de 80,

quatro observações com valores entre 75 e 80,

seis observações com valores abaixo de 75.

Contribuições para verossimilhança

$L(\theta) = f(y_i)$  para  $y_i$  pontual,

$L(\theta) = 1 - F(85)$  para  $y_i > 85$ ,

$L(\theta) = 1 - F(80)$  para  $y_i > 80$ ,

$L(\theta) = F(80) - F(75)$  para  $75 < y_i < 80$ ,

$L(\theta) = F(75)$  para  $y_i < 75$ .



# Exemplo: Distribuição Normal (Dados intervalares)

Expressão da verossimilhança no exemplo:

$$L(\theta) = \left( \prod_{i=1}^7 f(y_i) \right) \cdot (1 - F(85)) \cdot (1 - F(80)) \cdot (F(80) - F(75))^4 \cdot (F(75))^6$$

De forma mais geral para  $n_p$  dados pontuais e  $n_I$  dados intervalares com valores entre  $a_i$  e  $b_i$ :

$$\begin{aligned} L(\theta) &= \prod_{i=1}^{n_p} f(y_i) \cdot \prod_{i=1}^{n_I} (F(b_i) - F(a_i)) \\ &= \prod_{i=1}^{n_p} \phi\left(\frac{y_i - \mu}{\sigma}\right) \cdot \prod_{i=1}^{n_I} \left(\Phi\left(\frac{a_i - \mu}{\sigma}\right) - \Phi\left(\frac{b_i - \mu}{\sigma}\right)\right) \end{aligned}$$

No exemplo:

a	85	80	75	75	75	75	$-\infty$	$-\infty$	$-\infty$	$-\infty$	$-\infty$	$\infty$
b	$\infty$	$\infty$	80	80	80	80	75	75	75	75	75	75

# Dados intervalares (cont)

$$I(\theta) = \sum_{i=1}^{n_p} \log \left( \phi\left(\frac{y_i - \mu}{\sigma}\right) \right) + \sum_{i=1}^{n_I} \log \left( (\Phi\left(\frac{a_i - \mu}{\sigma}\right) - \Phi\left(\frac{b_i - \mu}{\sigma}\right)) \right)$$

```
nllnormI <- function(par, xp, XI) {
  l11 <- sum(dnorm(xp, mean = par[1], sd = par[2], log = T))
  L2 <- pnorm(XI, mean = par[1], sd = par[2])
  l12 <- sum(log(L2[, 2] - L2[, 1]))
  return(-(l11 + l12))
}
```

	[,1]	[,2]	[,3]	[,4]	[,5]	[,6]	[,7]	[,8]	[,9]	[,10]	[,11]	[,12]
[1,]	85	80	75	75	75	75	-Inf	-Inf	-Inf	-Inf	-Inf	-Inf
[2,]	Inf	Inf	80	80	80	80	75	75	75	75	75	75

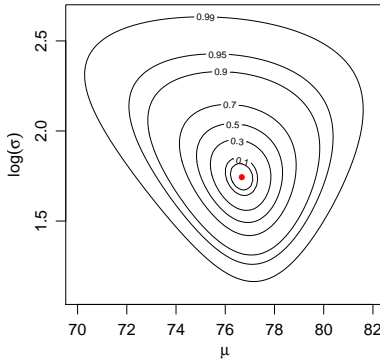
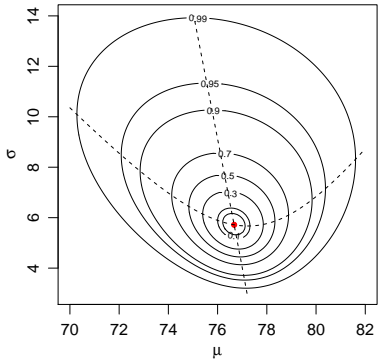
```
ini <- c(mean(y), sd(y))
ests <- optim(), nllnormI, x=y, XI=yI)$par
```



# Dados intervalares (cont)

Função deviance genérica.

```
devFun <- function(theta, est, llFUN, ...){
  return(2 * (llFUN(theta, ...) - llFUN(est, ...)))
}
devSurf <- Vectorize(function(x,y, ...) devFun(c(x,y), ...))
```



# Dados intervalares (cont)

## Código mais geral e cuidadoso

```
nllnormI <- function(par, xp, XI, logsigma=FALSE){  
  if(logsigma) par[2] <- exp(par[2])  
  l11 <- ifelse(missing(xp), 0,  
                sum(dnorm(xp, mean=par[1], sd=par[2], log=T)))  
  if(missing(XI)) l112 <- 0  
  else{  
    if(ncol(XI) != 2 || any(XI[,2] <= XI[,1]))  
      stop("XI deve ser matrix com 2 colunas com XI[,2] > XI[,1]")  
    L2 <- pnorm(XI, mean=par[1], sd=par[2])  
    l112 <- sum(log(L2[,2] - L2[,1]))  
  }  
  return(-(l11 + l112))  
}
```



# Outros exemplos (texto)

- ① AR1
- ② Outro exemplo de reparametrização
- ③ Gamma
- ④ Binomial Negativa
- ⑤ Processo de Poisson não-homogêneo
- ⑥ Modelo espacial Geoestatístico
- ⑦ Códigos Genéricos:
  - `mle` (**stat4**) e `mle2` (**bbmle**)
  - `profile` e `confint`

